

Comparaison de réseaux biologiques

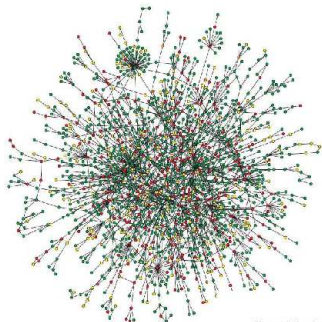
graphe orienté *vs.* graphe non orienté

Présenté par: H.MOHAMED BABOU

Encadré par: G. FERTIN & I. RUSU

Lundi 10 janvier 2011

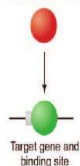
- Réseaux biologiques
- Nouvelle approche : LP_{DAG} -BIJ
- NP-complétude et inapproximabilité
- Une heuristique & algorithme exact
- Conclusion & perspectives



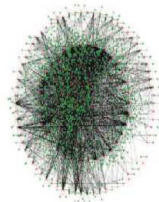
PPI

H. Jeong et al. [2001]

Transcription factor

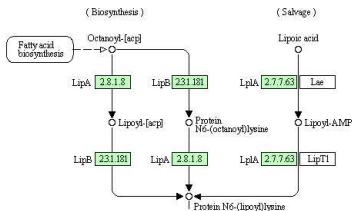


Target gene and binding site



Régulation des gènes

M.M. Babu et al. [2004]



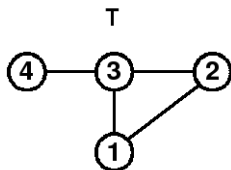
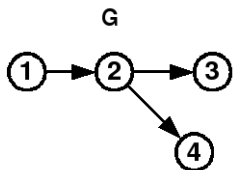
Réseaux métaboliques
KEGG, pathway eco00785

- **Input** : Un graphe orienté acyclique $G = (V, A)$, un graphe non orienté $T = (V, E)$, un arc $x \rightarrow y$ de G .
- **Output** : Le plus long chemin (simple) dans G qui contient $x \rightarrow y$ et induisant un sous-graphe connexe dans T .

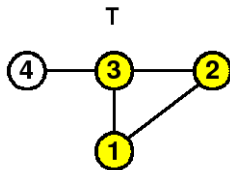
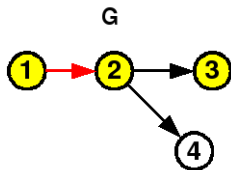
- **Input** : Un graphe orienté acyclique $G = (V, A)$, un graphe non orienté $T = (V, E)$, un arc $x \rightarrow y$ de G .
- **Output** : Le plus long chemin (simple) dans G qui contient $x \rightarrow y$ et induisant un sous-graphe connexe dans T .

Définition. Un chemin dans G est dit **consistent** s'il induit dans T un sous-graphe connexe.

Exemple 1

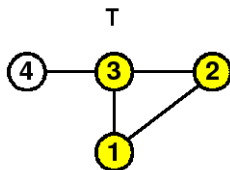
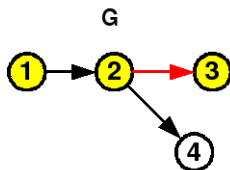


Exemple 1



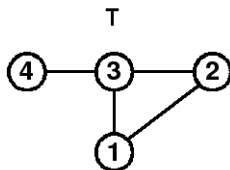
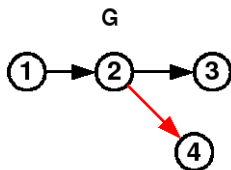
$1 \rightarrow 2 : 1 \rightarrow 2 \rightarrow 3$

Exemple 1



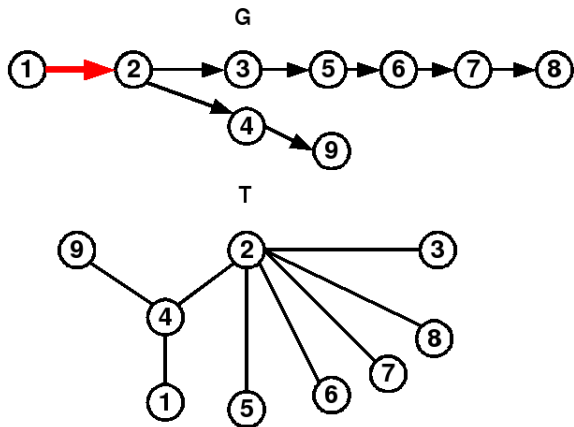
$2 \rightarrow 3 : 1 \rightarrow 2 \rightarrow 3$

Exemple 1

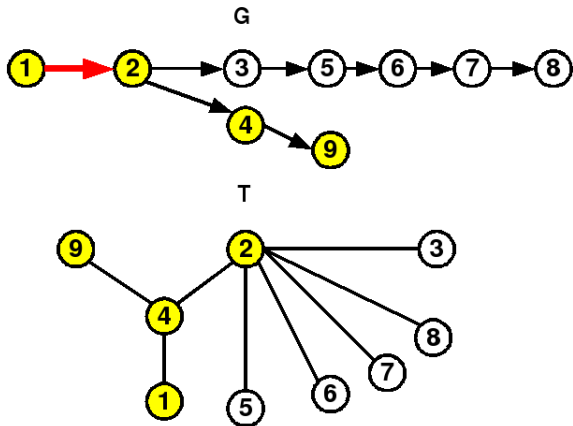


$2 \rightarrow 4 : \phi$

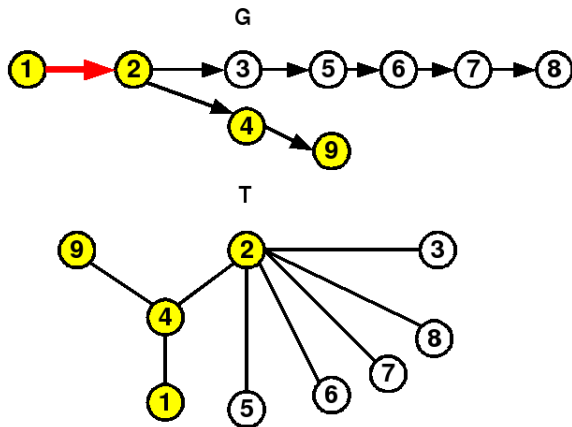
Exemple 2



Exemple 2



Exemple 2



$1 \rightarrow 2 : 1 \rightarrow 2 \rightarrow 3$

Le plus long chemin consistant \neq Le plus long chemin dans G .

Le plus long chemin consistant n'est pas un **sous chemin** du plus long chemin dans G .

- **Input** : Un graphe orienté acyclique $G = (V, A)$, un graphe non orienté $T = (V, E)$, un arc $x \rightarrow y$ de G , un entier k .
- **Question** : Existe il un chemin consistant (simple) contenant $x \rightarrow y$ et de taille au moins k ?

Théorème : $LP_{DAG-BIJ}$ est NP-complet même si le graphe T est un arbre de diamètre 4.

Théorème : $LP_{DAG-BIJ}$ est NP-complet même si le graphe T est un arbre de diamètre 4.

- $LP_{DAG-BIJ}$ est dans NP.

3-SAT : Soit F une formule booléenne de clauses

$C_i = (x_{i,1}, x_{i,2}, x_{i,3})$, $1 \leq i \leq p$, sur l'ensemble des littéraux $\{l_1, l_2, \dots, l_n\}$. Existe il une affectation des littéraux $\{l_1, l_2, \dots, l_n\}$ satisfaisant toutes les clauses C_i ?

On construit la formule booléenne F' de clauses :

- toutes les clauses de F

On construit la formule booléenne F' de clauses :

- toutes les clauses de F
- toutes les clauses $C_{p+j} = (x_{p+j,1}, x_{p+j,2}, x_{p+j,3}) = (l_j, l_j, \overline{l_j})$
pour tout $1 \leq j \leq n$

On construit la formule booléenne F' de clauses :

- toutes les clauses de F
- toutes les clauses $C_{p+j} = (x_{p+j,1}, x_{p+j,2}, x_{p+j,3}) = (l_j, l_j, \overline{l_j})$
pour tout $1 \leq j \leq n$

Soit l_{n+1} un nouveau littéral. On ajoute à F' les deux clauses :

On construit la formule booléenne F' de clauses :

- toutes les clauses de F
- toutes les clauses $C_{p+j} = (x_{p+j,1}, x_{p+j,2}, x_{p+j,3}) = (l_j, l_j, \bar{l}_j)$ pour tout $1 \leq j \leq n$

Soit l_{n+1} un nouveau littéral. On ajoute à F' les deux clauses :

- $C_{p+n+1} = (x_{p+n+1,1}, x_{p+n+1,2}, x_{p+n+1,3}) = (l_{n+1}, l_{n+1}, l_{n+1})$

On construit la formule booléenne F' de clauses :

- toutes les clauses de F
- toutes les clauses $C_{p+j} = (x_{p+j,1}, x_{p+j,2}, x_{p+j,3}) = (l_j, l_j, \bar{l}_j)$ pour tout $1 \leq j \leq n$

Soit l_{n+1} un nouveau littéral. On ajoute à F' les deux clauses :

- $C_{p+n+1} = (x_{p+n+1,1}, x_{p+n+1,2}, x_{p+n+1,3}) = (l_{n+1}, l_{n+1}, l_{n+1})$
- $C_{p+n+2} = (x_{p+n+2,1}, x_{p+n+2,2}, x_{p+n+2,3}) = (l_{n+1}, l_{n+1}, l_{n+1})$

$p = 2$ et $n = 3$

$$L = \{l_1, l_2, l_3\}, F = (l_1 \vee \bar{l}_2 \vee l_3) \wedge (l_1 \vee \bar{l}_2 \vee \bar{l}_3)$$

$$F' = (l_1 \vee \bar{l}_2 \vee l_3) \wedge (l_1 \vee \bar{l}_2 \vee \bar{l}_3) \wedge \\ (l_1 \vee l_1 \vee \bar{l}_1) \wedge (l_2 \vee l_2 \vee \bar{l}_2) \wedge (l_3 \vee l_3 \vee \bar{l}_3) \wedge \\ (l_4 \vee l_4 \vee l_4) \wedge (l_4 \vee l_4 \vee l_4)$$

$P = p + n + 2 = 7$: Le nombre des clauses de F' .

$N = n + 1 = 4$: Le nombre des littéraux de F'

A partir de la formule F' , on construit une instance du problème $\text{LP}_{\text{DAG-BIJ}}$.

- un DAG $G = (V, A)$
- un graphe non orienté $T = (V, E)$
- un arc $x \rightarrow y$ de G
- un entier k

G est construit en $P + N + 1$ niveaux, de 0 à $P + N$.

- niveau 0 : un nœud s .

G est construit en $P + N + 1$ niveaux, de 0 à $P + N$.

- niveau 0 : un nœud s .
- niveau i , $1 \leq i \leq P$: 3 nœuds $x_{i,1}, x_{i,2}, x_{i,3}$ correspondent aux variables de clause C_i .

G est construit en $P + N + 1$ niveaux, de 0 à $P + N$.

- niveau 0 : un nœud s .
- niveau i , $1 \leq i \leq P$: 3 nœuds $x_{i,1}, x_{i,2}, x_{i,3}$ correspondent aux variables de clause C_i .
- niveau $P + j$, $1 \leq j \leq N - 1$: 2 nœuds a_j, b_j .

G est construit en $P + N + 1$ niveaux, de 0 à $P + N$.

- niveau 0 : un nœud s .
- niveau i , $1 \leq i \leq P$: 3 nœuds $x_{i,1}, x_{i,2}, x_{i,3}$ correspondent aux variables de clause C_i .
- niveau $P + j$, $1 \leq j \leq N - 1$: 2 nœuds a_j, b_j .
- level $P + N$: un nœud a_N .

G est construit en $P + N + 1$ niveaux, de 0 à $P + N$.

- niveau 0 : un nœud s .
- niveau i , $1 \leq i \leq P$: 3 nœuds $x_{i,1}, x_{i,2}, x_{i,3}$ correspondent aux variables de clause C_i .
- niveau $P + j$, $1 \leq j \leq N - 1$: 2 nœuds a_j, b_j .
- level $P + N$: un nœud a_N .

On met tous les arcs possibles d'un niveau i au niveau $i + 1$, pour tout $0 \leq i \leq P + N - 1$.

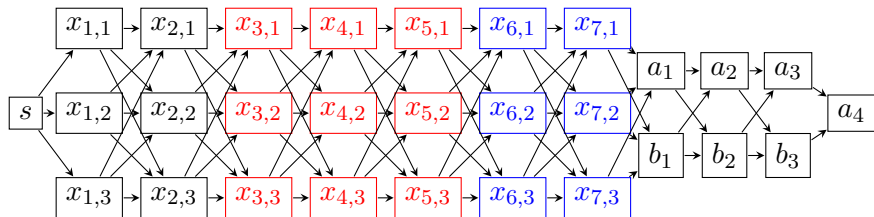
Exemple de construction de G

$$L = \{l_1, l_2, l_3\}, F = (l_1 \vee \bar{l}_2 \vee l_3) \wedge (l_1 \vee \bar{l}_2 \vee \bar{l}_3)$$

$$F' = (l_1 \vee \bar{l}_2 \vee l_3) \wedge (l_1 \vee \bar{l}_2 \vee \bar{l}_3) \wedge$$

$$(l_1 \vee l_1 \vee \bar{l}_1) \wedge (l_2 \vee l_2 \vee \bar{l}_2) \wedge (l_3 \vee l_3 \vee \bar{l}_3) \wedge$$

$$(l_4 \vee l_4 \vee l_4) \wedge (l_4 \vee l_4 \vee l_4)$$



G

Réduction de 3-SAT : construction du graphe T

- T est un arbre de même nœuds que G et de racine s
- Il y a une arête entre s et tous les a_i et b_i , pour tout $1 \leq i \leq N$
- Il y a une arête entre a_i et tous les nœuds $x_{j,k}$ qui correspondent au littéral l_i , pour tout $1 \leq i \leq N$, $1 \leq j \leq P$ et $1 \leq k \leq 3$
- Il y a une arête entre b_i et tous les nœuds $x_{j,k}$ qui correspondent au littéral \bar{l}_i , pour tout $1 \leq i \leq N$, $1 \leq j \leq P$ et $1 \leq k \leq 3$

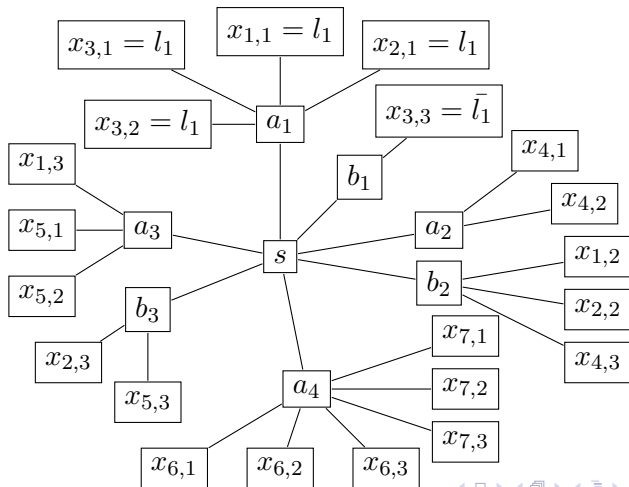
Exemple de construction de T

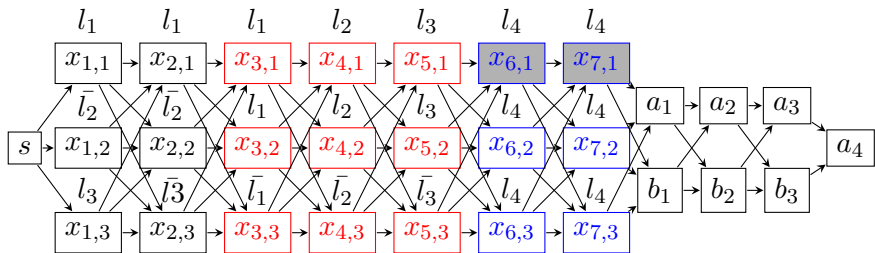
$$L = \{l_1, l_2, l_3\}, F = (l_1 \vee \bar{l}_2 \vee l_3) \wedge (l_1 \vee \bar{l}_2 \vee \bar{l}_3)$$

$$F' = (l_1 \vee \bar{l}_2 \vee l_3) \wedge (l_1 \vee \bar{l}_2 \vee \bar{l}_3) \wedge$$

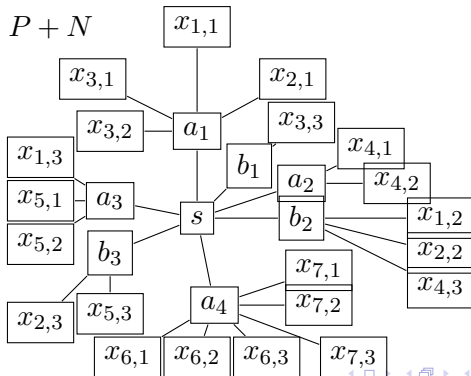
$$(l_1 \vee l_1 \vee \bar{l}_1) \wedge (l_2 \vee l_2 \vee \bar{l}_2) \wedge (l_3 \vee l_3 \vee \bar{l}_3) \wedge$$

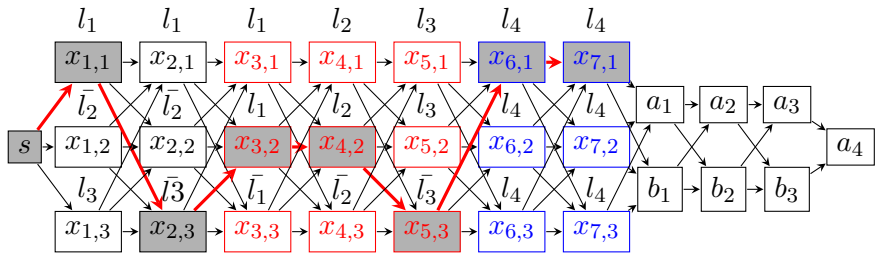
$$(l_4 \vee l_4 \vee l_4) \wedge (l_4 \vee l_4 \vee l_4)$$





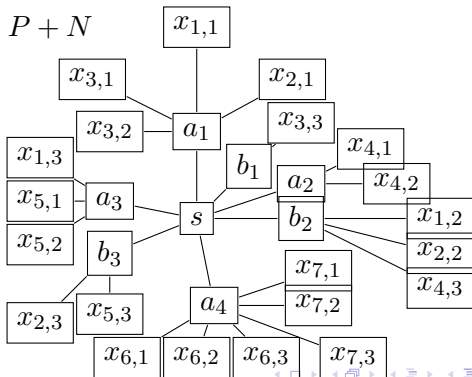
$$k = P + N$$

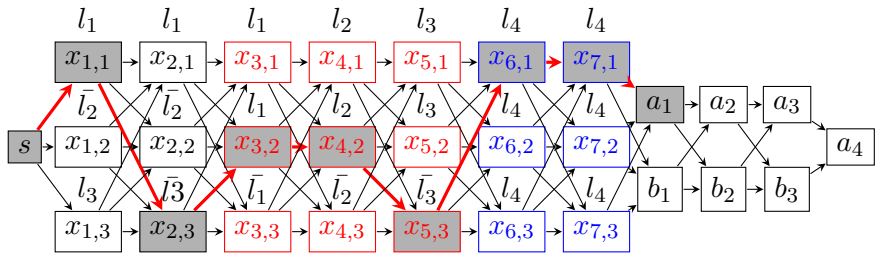




(\Rightarrow)

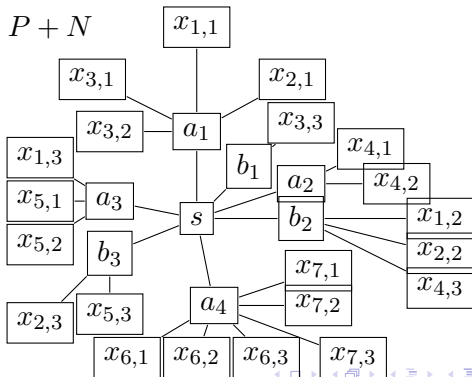
$$k = P + N$$

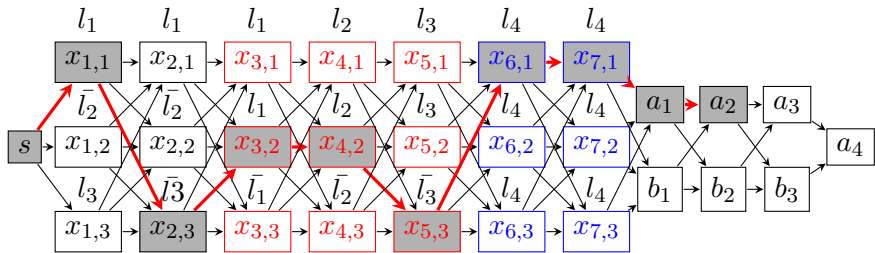




(\Rightarrow)

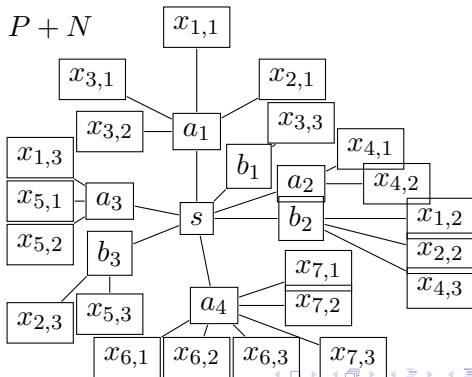
$$k = P + N$$

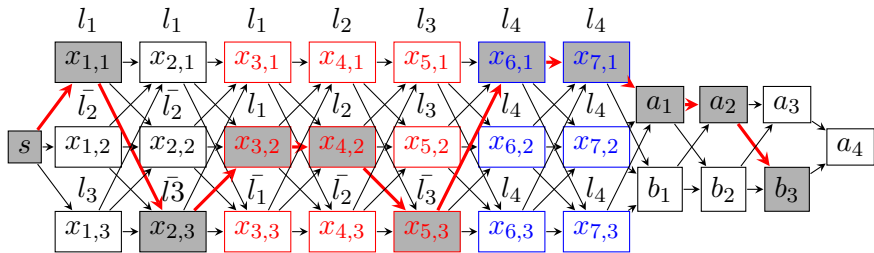




(\Rightarrow)

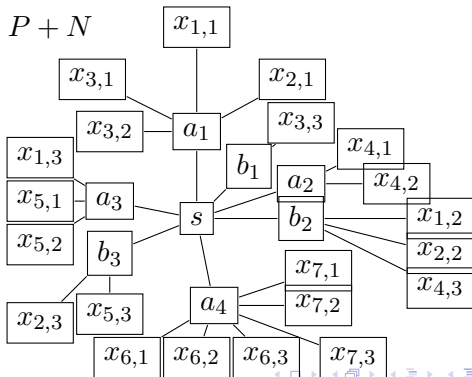
$$k = P + N$$

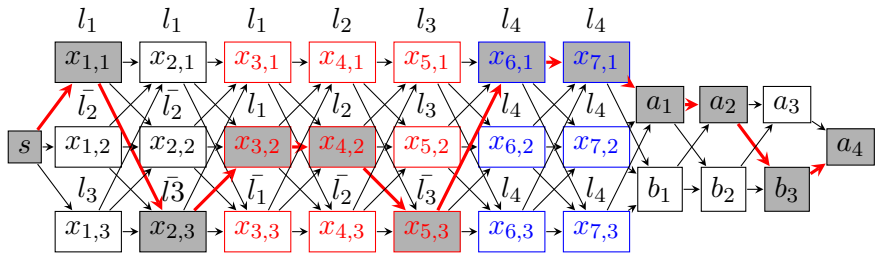




(\Rightarrow)

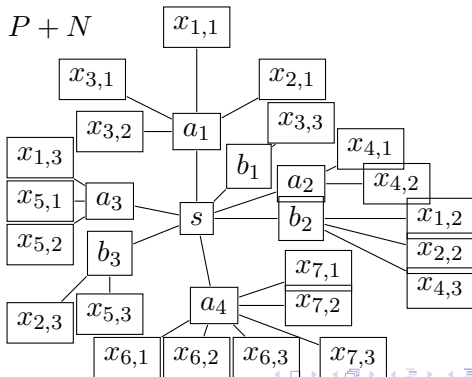
$$k = P + N$$

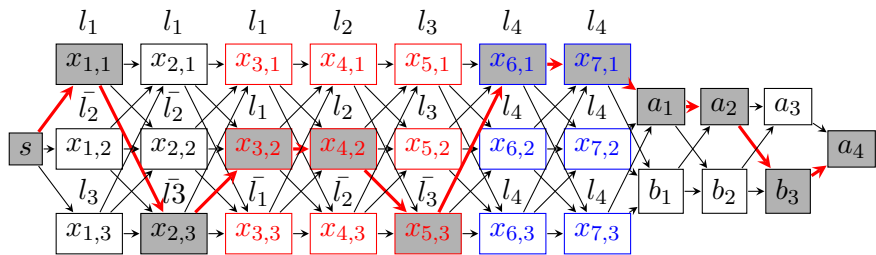




(\Rightarrow)

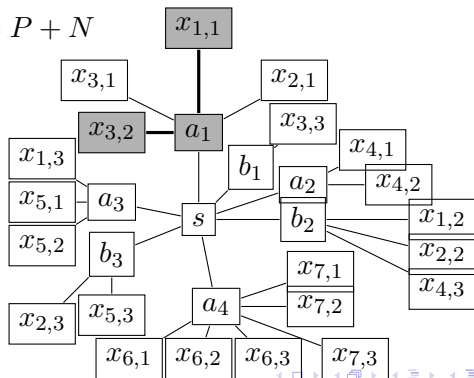
$$k = P + N$$

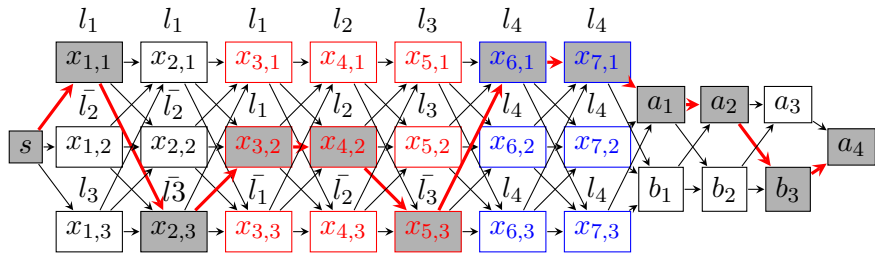




(\Rightarrow)

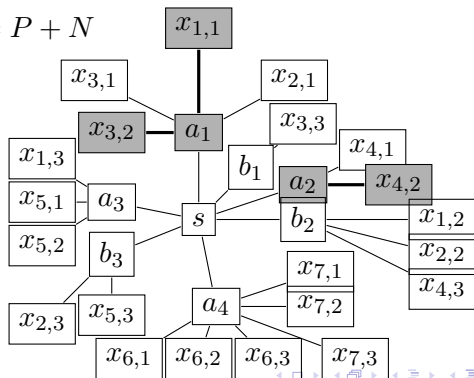
$$k = P + N$$

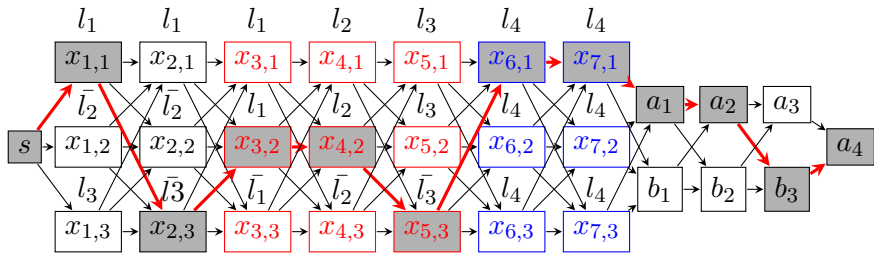




(\Rightarrow)

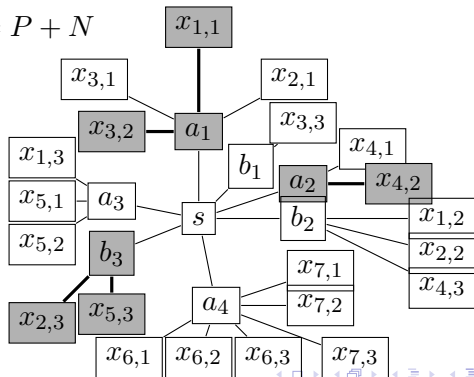
$$k = P + N$$

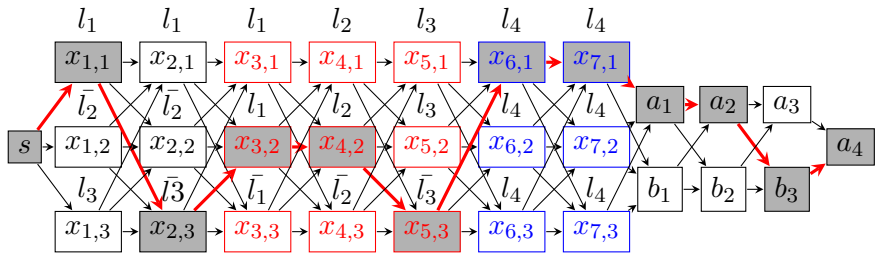




(\Rightarrow)

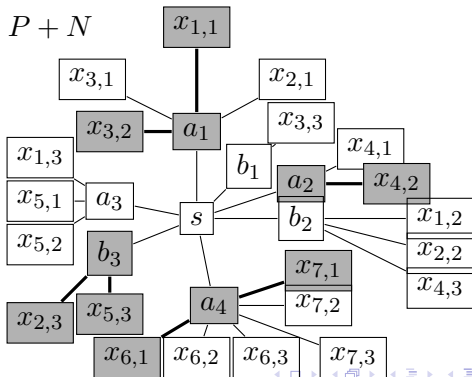
$$k = P + N$$

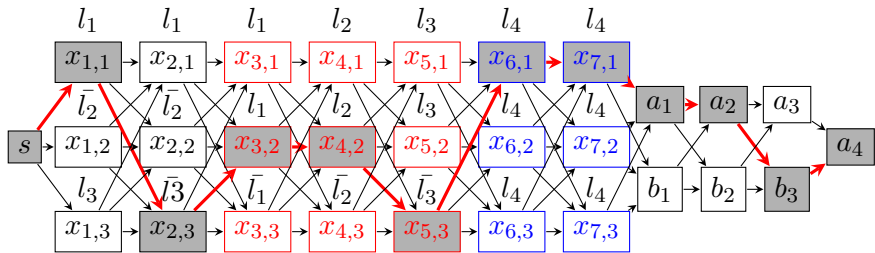




(\Rightarrow)

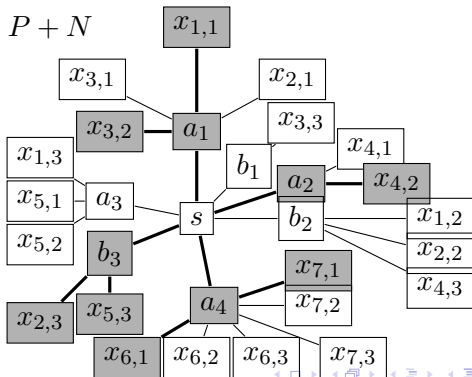
$$k = P + N$$

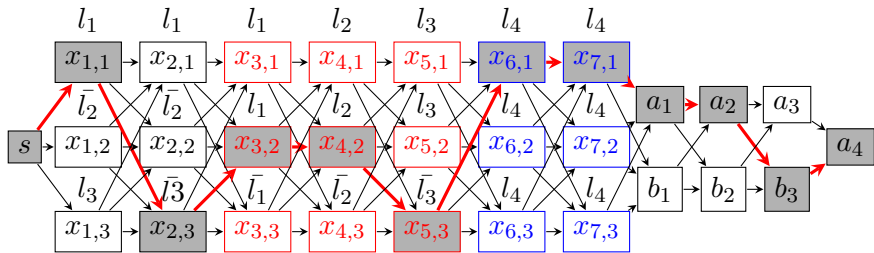




(\Rightarrow)

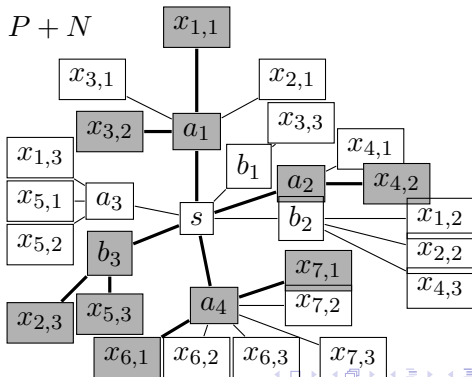
$$k = P + N$$





(\Leftarrow)

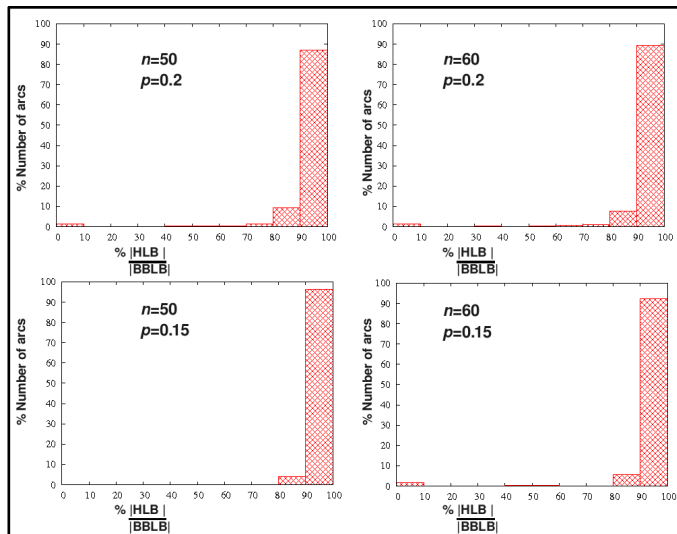
$$k = P + N$$



Si $P \neq NP$ alors le problème $LPDAG - BIJ$ n'est pas f -approximable quelque soit la fonction f .

- Bonne heuristique : *HLB*.
- Algorithme exact (Branch & Bound) : *BBLB*.

l'heuristique *HLB* vs. l'algorithme exact *BBLB*



Temps de calcul : 56 minutes vs. 10 heures et 20 minutes.

- Nouvelle approche pour comparer des réseaux biologiques
- Bonne heuristique pour le problème $LP_{DAG-BIJ}$
- Étude la complexité paramétré du problème $LP_{DAG-BIJ}$
- Trouver des classes des graphes où le problème devient facile
- Généralisation de notre approche pour comparer plus de deux réseaux biologiques